

---

**Amplificateur opérationnel en régime non linéaire**

---

**Table des matières**

<b>1</b>	<b>Comparateur à AO</b>	<b>2</b>
1.1	Comparateur simple en boucle ouverte . . . . .	2
1.2	Comparateur en boucle fermée : trigger de schmitt . . . . .	3
1.2.1	Montage . . . . .	3
1.2.2	Stabilisation du montage . . . . .	3
1.2.3	Comparateur à hystérésis . . . . .	3
<b>2</b>	<b>Multivibrateur astable</b>	<b>4</b>
2.1	Montage . . . . .	4
2.2	Etude théorique . . . . .	5

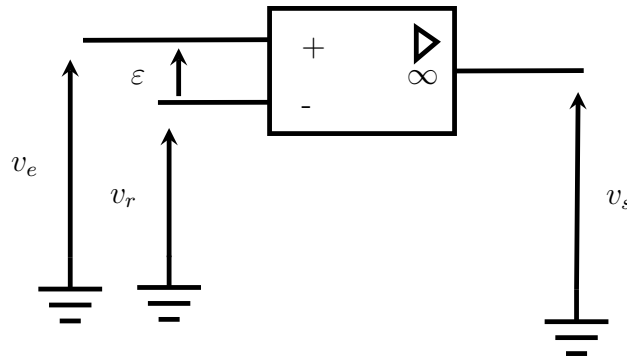
# 1 Comparateur à AO

Il s'agit d'opérateur à AO supposé idéal, en régime non linéaire ( $\varepsilon \neq 0$ ) on obtient à la sortie

- Saturation basse si  $\varepsilon < 0$
- Saturation haute si  $\varepsilon > 0$

## 1.1 Comparateur simple en boucle ouverte

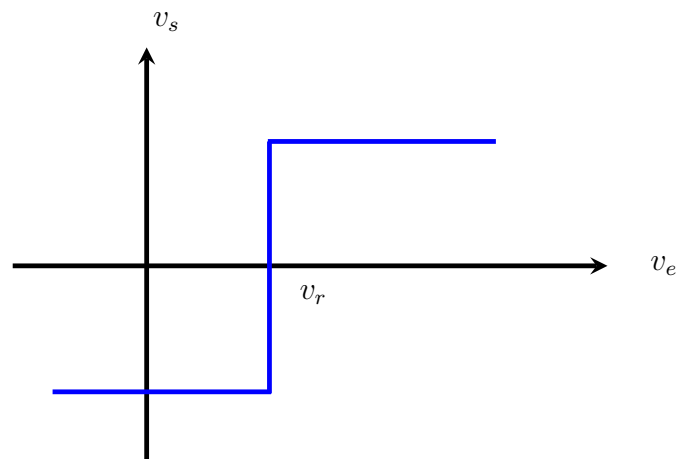
Cet opérateur à AO va permettre de comparer une tension  $v_e(t)$  appliquée sur une entrée (+) (par exemple) et une tension de référence  $v_r$  sur l'autre entrée .



$$\varepsilon = v^+ - v^- = v_e - v_r$$

si  $v_e > v_r \Rightarrow \varepsilon > 0$  saturation haute

si  $v_r > v_e \Rightarrow \varepsilon < 0$  saturation basse

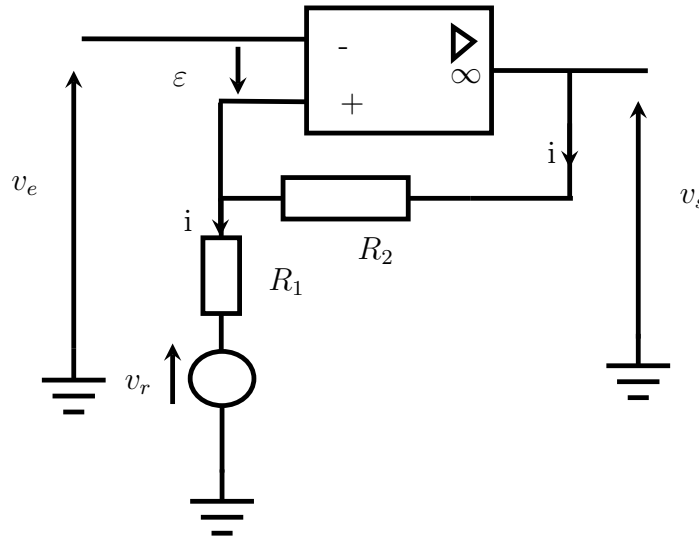


- **Remarque** : Si l'on permute les deux entrées, le comparateur est dit inverseur .

En pratique la caractéristique de transfert est visualisé en mode  $X - Y$  de l'oscilloscope .

## 1.2 Comparateur en boucle fermée : trigger de schmitt

### 1.2.1 Montage



On pose

$$\beta = \frac{R_1}{R_1 + R_2}$$

$$v_r' = (1 - \beta)v_r = \frac{R_2}{R_1 + R_2}v_r$$

### 1.2.2 Stabilisation du montage

Pour montrer l'instabilité du montage on considère que l'AO est réel tq  $v_s$  et  $\varepsilon$  sont reliés par l'équation : on suppose que  $v_r = 0$

$$\tau \frac{dv_s}{dt} + v_s = \mu \varepsilon$$

$$v^+ = R_1 i = \frac{R_1}{R_1 + R_2} v_s = \beta v_s \text{ et } \varepsilon = \beta v_s - v_e$$

$$\tau \frac{dv_s}{dt} + (1 - \mu \beta) v_s = -\mu v_e$$

$\mu \beta \gg 1 \Rightarrow v_s = k \exp(\frac{\mu \beta}{\tau} t) \rightarrow \infty, t \rightarrow \infty$  (solution de l'équation SSM)  
donc  $v_s$  diverge et l'AO sature en tension .

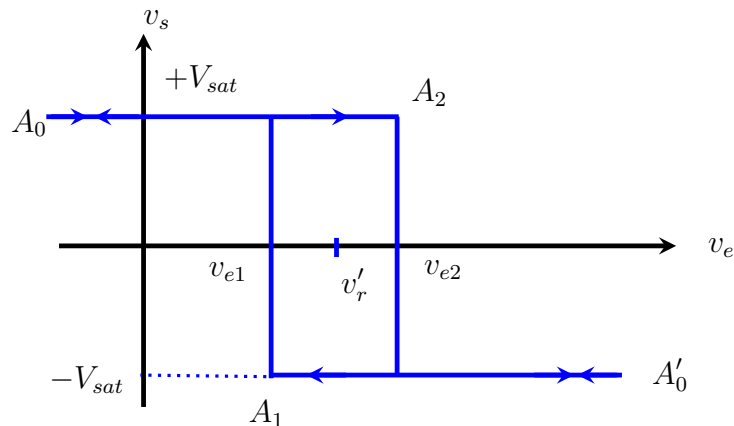
### 1.2.3 Comparateur à hystérésis

$$v^+ = v_r + R_1 i = v_r + R_1 \frac{v_s - v_r}{R_1 + R_2} = v_r + \beta(v_s - v_r) = \beta v_s + v_r'$$

$$\varepsilon = v^+ - v^- = \beta v_s + v_r' - v_e$$

► **Saturation haute  $\varepsilon > 0 \Rightarrow v_e < \beta v_s + v_r' = \beta V_{sat} + v_r' = v_{e2}$**

- **Saturation basse  $\varepsilon < 0 \Rightarrow v_e > -\beta V_{sat} + v'_r = v_{e1}$**
- **Cycle d'hystérésis**



On part du point  $A_0$  tq  $v_s = +V_{sat} \Rightarrow \varepsilon > 0$

On augmente la tension jusqu'à  $v_e = v_{e2}$  donc on décrit le segment  $A_0A_2$ .

À  $v_e = v_{e2}$  :  $\varepsilon = v_{e2} - v_{e2} = 0 \Rightarrow$  basculement de  $v_s$  à  $-V_{sat}$  et si on augmente  $v_e$  toujours on aura  $v_s = -V_{sat}$  car  $\varepsilon < 0$

On diminue  $v_e$  jusqu'à  $v_e = v_{e1}$  tq  $\varepsilon = 0 \Rightarrow$  basculement de  $v_s$  à  $+V_{sat}$  d'où l'allure du cycle à hystérésis

La largeur du cycle est

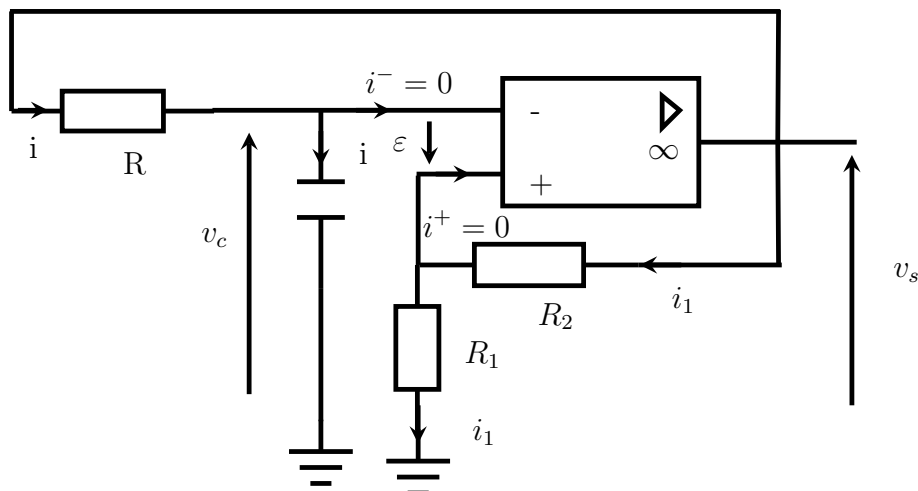
$$\Delta v_e = v_{e2} - v_{e1} = 2\beta V_{sat}$$

Le centre du cycle à hystérésis

$$v_e = \frac{v_{e1} + v_{e2}}{2} = v'_r$$

## 2 Multivibrateur astable

### 2.1 Montage



Le signal de sortie  $\pm V_{sat}$  fournie par le trigger de schmitt, est intégré par un circuit RC  
Ce système (non linéaire) à deux états instables correspondant aux basculement de  $v_s$

est appelé **multivibrateur astable** .

**Intérêt** : Il permet de générer des signaux périodiques créneau  $v_s(t)$  et pseudo-triangulaire  $v_c(t)$  associés à des oscillations de relaxation .

## 2.2 Etude théorique

$$v_c = v^-, \beta = \frac{R_1}{R_1 + R_2}, \tau = RC \text{ et } v^+ = R_1 i_1 = \frac{R_1}{R_1 + R_2} v_s = \beta v_s$$

on choisit comme origine du temps  $t = 0$  l'instant où  $v_s$  bascule de  $+V_{sat}$  à  $-V_{sat}$

$$v_s(0^-) = V_{sat} \text{ et } v_s(0^+) = -V_{sat}, \varepsilon(0^-) = v^+(0^-) - v^-(0^-) = 0$$

$$v_c(0^-) = \beta v_s(0^-) = \beta V_{sat}$$

La continuité de la tension aux bornes du condensateur

$$v_c(0^+) = v_c(0^-) = \beta V_{sat}$$

$$\varepsilon(0^+) = v^+(0^+) - v^-(0^+) = \beta v_s(0^+) - v_c(0^+) = -\beta V_{sat} - \beta V_{sat} = -2\beta V_{sat}$$

on déduit que

$$\varepsilon(0^+) = -2\beta V_{sat} < 0$$

donc le condensateur se décharge dans  $R$  :

$$i = C \frac{dv_c}{dt} \text{ et } v_c + Ri = v_s \Rightarrow \tau \frac{dv_c}{dt} + v_c = v_s = -V_{sat}$$

la solution de cette équation est  $v_c(t) = k \exp(-\frac{t}{\tau}) - V_{sat}$

$$v_c(0^+) = \beta V_{sat} \Rightarrow k = (1 + \beta)V_{sat}$$

$$v_c(t) = V_{sat}[(1 + \beta) \exp(-\frac{t}{\tau}) - 1]$$

$v_c$  diminue jusqu'à  $\varepsilon = 0 \Rightarrow$  basculement à  $+V_{sat}$

$$\varepsilon = 0 \Rightarrow v_c(t_1^-) = v^+(t_1^-) = -\beta V_{sat} \text{ donc}$$

$$-\beta V_{sat} = V_{sat}[(1 + \beta) \exp(-\frac{t_1}{\tau}) - 1] \Rightarrow t_1 = \tau \ln \frac{1 + \beta}{1 - \beta}$$

$$\text{à } v_s = +V_{sat} : v_c + \tau \frac{dv_c}{dt} = V_{sat} \Rightarrow v_c = k \exp(-\frac{t - t_1}{\tau}) + V_{sat}$$

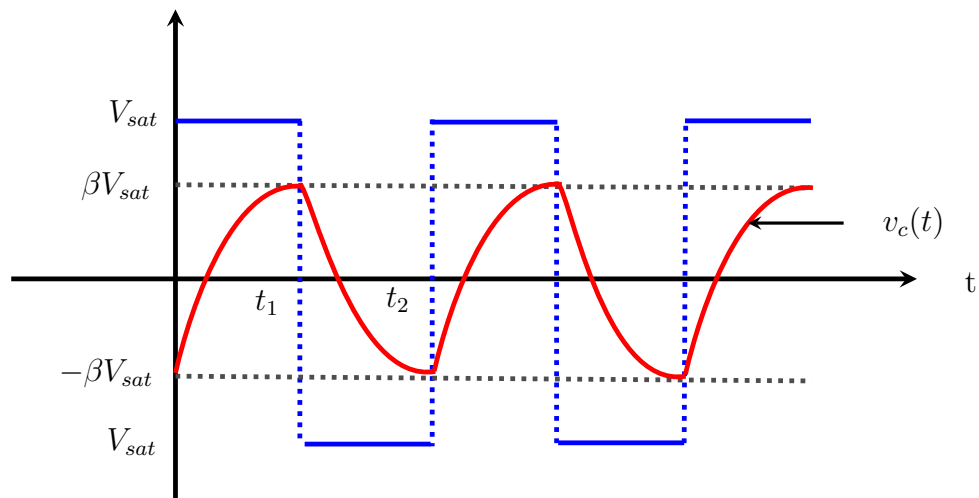
$$v_c(t_1^+) = v_c(t_1^-) = -\beta V_{sat} \Rightarrow v_c = V_{sat}[1 - (1 + \beta) \exp(-\frac{t - t_1}{\tau})]$$

$v_c$  augmente jusqu'à  $\varepsilon = 0$  à  $t = t_2 \Rightarrow$  basculement à  $-V_{sat}$

$$\varepsilon(t_2^-) = 0, v_c(t_2^-) = \beta V_{sat} = v^+(t_2^-)$$

$$\exp(-\frac{t_2 - t_1}{\tau}) = \frac{1 - \beta}{1 + \beta}$$

$$t_2 = t_1 + \tau \ln(\frac{1 + \beta}{1 - \beta}) = 2t_1$$



$$T = 2t_1 = 2\tau \ln\left(\frac{1+\beta}{1-\beta}\right) = 2Rc \ln\left(\frac{2R_1 + R_2}{R_2}\right)$$

$$T = 2Rc \ln\left(1 + 2\frac{R_1}{R_2}\right)$$